



**Europäisches Patentamt
European Patent Office
Office européen des brevets**

⑪ Numéro de publication:

0 087 336
A1

12

DEMANDE DE BREVET EUROPÉEN

(21) Numéro de dépôt: 83400222-2

⑤1 Int. Cl.³: H 03 D 7/12

22 Date de dépôt: 02.02.83

③0) Priorité: 12-02-82 FB 82023346

43 Date de publication de la demande:
31.08.82 Bulletin 82/25

84) Etats contractants désignés:
DE FR GR IT

71 Demandeur: THOMSON-CSF
173, Boulevard Haussmann
F-75379 Paris Cedex 09(FR)

⑦ Inventeur: Bensussan, André
THOMSON-CSF SCPI 173, Bld Haussmann
F-75379 Paris Cedex 08(FR)

72 Inventeur: Birot, Patrice
THOMSON-CSF SCPI 173, Bd Haussmann
F-75379 Paris Cedex 08(FR)

72 Inventeur: Curtinot, Jean-Claude
THOMSON-CSF SCPI 173, Bld Haussmann
F-75379 Paris Cedex 08(FR)

72 Inventeur: Van Kerrebroeck, Claude
THOMSON-CSF SCPI 173, Bd Haussmann
F-75379 Paris Cedex 08(FR)

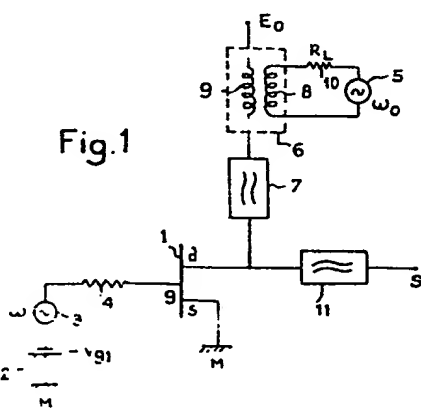
74) Mandataire: Lincot, Georges et al,
THOMSON-CSF SCPI 173, Bd Haussmann
F-75379 Paris Cedex 08(FR)

54 Mélangeur à transistor pour émetteurs hyperfréquences

57) Le mélangeur comprend un transistor mélangeur (1) du type MESFET, des moyens de polarisation (2, 4) dans une zone de conduction non-linéaire du transistor mélangeur, des moyens (3,4) pour appliquer le signal de l'oscillateur local de l'émetteur sur l'électrode de grille, des moyens (6) pour appliquer un deuxième signal périodique de fréquence intermédiaire sur une des deux autres électrodes de drain ou de source ainsi que des moyens (11) pour prélever, à la sortie du mélangeur, le signal résultant de l'application des premier et deuxième signaux sur l'électrode de drain ou de source sur laquelle le signal de fréquence intermédiaire est appliqué.

Application : mélangeurs pour émetteurs hyperfréquences.

Fig. 1



MELANGEUR A TRANSISTOR POUR EMETTEURS HYPERFREQUENCES

La présente invention concerne un mélangeur à transistor pour émetteurs hyperfréquences.

On entend par mélangeur un dispositif électronique qui assure le mélange de deux signaux périodiques de fréquences différentes pour 5 délivrer un signal unique dont le spectre de fréquence contient au moins une fréquence égale à la somme ou à la différence des fréquences des deux signaux qui lui sont appliqués.

Une solution classique pour réaliser les mélangeurs hyperfréquences consiste à utiliser des diodes Schottky au silicium ou à l'arséniure de 10 gallium. Ces diodes comportent une jonction métal semiconducteur faiblement dopée qui autorise leur fonctionnement à des fréquences très élevées, supérieures à 1 GHz. Les pertes de conversion des mélangeurs à diode Schottky, correspondant à la différence en décibels de la puissance disponible à leur entrée et de celle disponible en leur sortie, pourraient 15 être en théorie à peu près nulles, si leurs sorties étaient parfaitement adaptées aux fréquences des raies du spectre du signal obtenu en sortie et si toutes les puissances des raies non essentielles du spectre étaient récupérées.

Or, dans la pratique il est impossible de contrôler toutes les 20 impédances de terminaison d'un mélangeur pour chaque fréquence. La seule fréquence contrôlable est la fréquence image de la fréquence du signal reçu à l'entrée du mélangeur par rapport à l'autre fréquence. La fréquence somme résultant de la somme des fréquences des deux signaux appliqués à l'entrée est, dans les dispositifs récepteurs par exemple, très 25 élevée et est généralement incontrôlable. Par conséquent, les pertes de conversion d'un mélangeur à diode Schottky ne sont pas nulles et comme généralement on doit associer au mélangeur un amplificateur placé avant ou après celui-ci, pour obtenir un signal exploitable, les pertes de conversion du mélangeur s'ajoutent au facteur de bruit de l'amplificateur 30 auquel il est couplé. En pratique on relève des facteurs de bruit de 4 à 8 décibels dans les récepteurs d'onde électromagnétique comportant des

mélangeurs à diode Schottky couplés à leur amplificateur. Au niveau de la réalisation des émetteurs, les pertes de conversion nécessitent une augmentation de la puissance de l'oscillateur local, ce qui augmente en conséquence l'énergie consommée par l'oscillateur. Dans certaines applications, comme par exemple la réalisation de satellites de télécommunications, l'augmentation de l'énergie consommée se traduit par un dimensionnement plus important des générateurs de production d'énergie électrique.

Pour diminuer les pertes de conversion, certains mélangeurs hyperfréquences sont réalisés à l'aide de transistors unipolaires à effet de champ du type MESFET dont la grille de commande est constituée par une diode Schottky. Malgré la résistance série élevée que présente la diode Schottky de ces transistors, l'atténuation qui en résulte, est en partie compensée par le gain des transistors à leur fréquence d'utilisation. Par ailleurs chacun de ces transistors agit en commutateur et la variation de son gain en fonction du niveau des signaux appliqués permet d'obtenir un mélange dont le niveau dépend du gain du transistor. Toutefois le gain obtenu n'est généralement pas suffisant et ce type de réalisation nécessite souvent la mise en place d'un amplificateur placé en amont et en aval du transistor mélangeur hyperfréquences. Ce mauvais résultat s'explique en partie par le fait que la zone de fonctionnement, dans le plan des caractéristiques de courant drain-source en fonction de la tension drain-source, du transistor MESFET est limitée à l'intérieur d'un petit parallélogramme, dont les dimensions des côtés sont liées à l'excursion V_g de la tension de chacun des signaux appliqués sur la grille du transistor et dont l'angle d'inclinaison est lié à la différence des pentes des deux droites de charge du transistor correspondant à chacune des fréquences des signaux appliqués sur sa grille. Pour augmenter le rendement dans ce type de réalisation on cherche naturellement à augmenter la surface du parallélogramme mais on est rapidement limité par l'apparition d'un courant grille qui est destructif pour le transistor.

Le but de l'invention est de pallier les inconvénients précités à l'aide d'un dispositif qui permette une excursion maximum des régions non-linéaires des transistors utilisés, de façon à améliorer le gain de conversion des mélangeurs hyperfréquences.

A cet effet l'invention a pour objet un mélangeur à transistor pour émetteurs hyperfréquences, destiné à mélanger un signal fourni par un oscillateur local à un signal utile de fréquence intermédiaire, de manière à obtenir un signal mélangé dont le spectre de fréquence contient la 5 somme ou la différence des fréquences, respectivement, du signal fourni par l'oscillateur local et du signal utile de fréquence intermédiaire, caractérisé en ce qu'il comprend au moins un transistor unipolaire du type MESFET ayant une électrode de grille une électrode de drain et une électrode de source, des premiers moyens pour assurer une polarisation 10 statique du transistor dans une zone de conduction non-linéaire de celui-ci, des deuxièmes moyens pour appliquer le signal fourni par l'oscillateur local sur l'électrode de grille, des troisièmes moyens pour appliquer le signal de fréquence intermédiaire sur une des deux autres électrodes de drain ou de source et des quatrièmes moyens pour prélever le signal 15 résultant du mélange sur l'électrode de drain ou de source sur laquelle le signal de fréquence intermédiaire est appliqué.

D'autres caractéristiques et avantages de l'invention apparaîtront au cours de la description faite au regard des dessins annexés, donnés uniquement à titre d'exemples et dans lesquels :

20 Les figures 1 à 6 représentent des exemples de réalisation de mélangeurs à modulation par le drain.

La figure 7 représente un exemple de réalisation d'un mélangeur à modulation par l'électrode de source.

Le dispositif mélangeur de la figure 1 comprend un transistor 25 unipolaire 1 du type MESFET comprenant une électrode de source s reliée au plan de masse du dispositif, une électrode de drain d, et une électrode de grille g. L'électrode de grille est polarisée par un générateur 2 de tension continue $-V_{g1}$ au travers, d'un générateur 3 de tension alternative de pulsation ω ayant la fonction d'oscillateur local et d'une 30 résistance 4 montée en série. L'électrode de drain est polarisée par une tension continue E_0 qui est appliquée sur le drain au travers d'un transformateur 6 et d'un filtre haute fréquence 7. Le transformateur 6 qui est utilisé ici en tant que modulateur de la tension de drain, comprend un enroulement primaire 8 et un enroulement secondaire 9. L'enroulement 35 primaire 8 est alimenté par une tension alternative de pulsation ω_0

fournissant le signal de fréquence intermédiaire au travers d'une résistance 10. L'enroulement secondaire 9 est connecté par une extrémité à la source de tension continue E_0 et par son autre extrémité à une extrémité du filtre 7. L'autre extrémité du filtre 7 est connectée à l'électrode de drain du transistor 1. L'électrode de drain du transistor 1 est connectée à la sortie S du dispositif au travers du filtre haute fréquence 11.

Le fonctionnement du dispositif mélangeur représenté à la figure 1 est maintenant décrit à l'aide du diagramme de la figure 2 représentant les déplacements de la droite de charge du transistor 1 dans le plan des caractéristiques $I_d = f(V_{ds})$ du transistor pour différentes valeurs de la tension grille V_g . I_d est le courant drain-source et V_{ds} est la tension entre l'électrode de drain et l'électrode de source du transistor 1. Le point statique P de polarisation du transistor, en l'absence de modulation par les tensions alternatives appliquées sur la grille et sur le drain, est situé à l'intersection de la courbe caractéristique $I_d = f(V_{ds})$ pour la tension $-V_{g1}$ de polarisation de la grille et de la droite orthogonale à l'axe V_{ds} passant le point $V_{ds} = E_0$ qui représente la tension d'alimentation continue du drain du transistor 1. Au point de polarisation P correspond un courant statique I_0 sur la droite I_d . Si n est le rapport de transformation entre le primaire 8 et le secondaire 9 du transformateur 6 et si R_L est la valeur de la résistance 10, la résistance ramenée au secondaire 9 du transformateur est égale à $n^2 \times R_L$. Cette résistance ramenée détermine la pente de la droite de charge dynamique du transistor 1. Au cours de la modulation de la tension du drain du transistor 1 par la source de tension 5 de pulsation ω_0 , la droite de charge dynamique D se déplace parallèlement à elle-même et le point P occupe alternativement les positions P_1 et P_2 sur la caractéristique $-V_{g1}$ lorsqu'il n'existe pas de modulation sur la grille du transistor. L'amplitude de déplacement du point P dépend naturellement de l'amplitude de la tension alternative délivrée par le générateur 5. Cette amplitude peut être très grande et le point P peut balayer la caractéristique $-V_{g1}$ depuis le point 0 de coordonnées $I_d = 0$, et $V_{ds} = 0$ jusqu'à un point maximum P_M situé sur la courbe caractéristique $V_g = -V_{g1}$ au début de la partie linéaire de cette courbe. Le point P_M est naturellement situé sur une droite D_M de pente $\frac{-1}{n^2 R_L}$. On s'aperçoit immédiatement, lorsque la tension grille du transistor 1 est modulée par

la tension alternative délivrée par le générateur 3, que le point P se déplace à l'intérieur d'une zone Z_1 . La zone Z_1 est située à l'intérieur d'un contour défini par la droite D_M , la caractéristique $I_d = f(V_{ds})$ pour $V_g = 0$ volt et la caractéristique $I_d = f(V_{ds})$ pour la tension grille $V_g = -V_p$ correspondant à la tension de pincement au-delà de laquelle un courant inverse trop grand peut provoquer la destruction du transistor 1.

Un deuxième exemple de réalisation du mélangeur selon l'invention est représenté à la figure 3. Sur cette figure le mélangeur comprend un transistor unipolaire 12 du type MESFET composé comme précédemment d'une grille g, d'un drain d, et d'une source s. La source s est reliée à la masse du dispositif. La grille est polarisée par une tension continue $-V_{g1}$ délivrée par une source de tension continue 13 au travers d'un générateur de tension alternative 14 de pulsation ω ayant la fonction d'oscillateur local et d'une résistance 15 montée en série. L'électrode de drain d est modulée par une tension alternative délivrée par un générateur 16 de fréquence intermédiaire au travers d'un transistor 17 qui est utilisé ici en tant que modulateur de la tension de drain. Le transistor 17 a son collecteur relié à une tension d'alimentation continue E_0 et son émetteur est relié au drain du transistor 12 au travers d'un filtre haute fréquence 18. La base du transistor 17 est polarisée à l'aide d'un diviseur potentiométrique formé des résistances 19 et 20 qui est connecté à la sortie de la source d'alimentation continue E_0 . La tension alternative délivrée par le générateur 16 est appliquée à la base du transistor 17 au travers d'une résistance 21 et d'un condensateur 22 montés en série. Le drain du transistor 12 est également connecté à la sortie du dispositif mélangeur au travers d'un filtre 23.

Le fonctionnement du dispositif représenté à la figure 3 est expliqué ci-après à l'aide du graphique de la figure 4. Dans ce montage la tension de modulation délivrée par le générateur 16 est appliquée à l'électrode de drain du transistor 12 au travers d'un transistor monté en émetteur-suiveur. Par conséquent la tension de polarisation statique du drain du transistor 12 est égale à la tension V_{B0} apparaissant aux bornes de la résistance 20 du diviseur potentiométrique formé des résistances 19 et 20, retranchée de la tension V_{BE} apparaissant entre la base et l'émetteur du transistor 17. Comme le transistor 12 est polarisé sur sa

grille par la tension continue $-V_{g1}$, le courant statique traversant le transistor 12 est le courant I_0 qui apparaît sur les courbes caractéristiques $I_d = f(V_{ds})$ du transistor 12 à l'intersection de la droite orthogonale à l'axe V_{ds} passant par le point $V_{B0} - V_{BE}$ situé sur l'axe V_{ds} et de la courbe

5 $I_d = f(V_{ds})$ pour la tension $-V_{g1}$ de polarisation de la grille. Le point P, de coordonnées $I_d = I_0$ et $V_{B0} - V_{BE}$ qui en résulte, est le point de polarisation statique du transistor 12. Le point P en l'absence de tension alternative développée sur la grille du transistor 12 se déplace entre les points P_1 et P_2 de la caractéristique de $I_d = f(V_{ds})$ correspondant à la

10 polarisation de grille égale à $-V_{g1}$, au rythme de l'oscillation de la tension alternative délivrée par le générateur 16. Comme dans le cas de la figure 2, il est possible de faire déplacer le point P sur la courbe caractéristique correspondant à la tension $-V_{g1}$ entre le point 0 des caractéristiques pour lesquelles le courant $I_d = 0$ et la tension $V_{ds} = 0$ et un point maximum P_M

15 situé à la frontière de la partie non-linéaire et de la partie linéaire de la courbe caractéristique correspondant à la tension $-V_{g1}$ de polarisation de la grille. On en déduit par conséquent, lorsque l'on applique simultanément une tension de modulation sur la grille du transistor 12 et une autre tension de modulation sur son drain, que la zone de travail du mélangeur

20 de la figure 3 est située à l'intérieur de la zone Z_2 délimitée par la droite orthogonale à l'axe V_{ds} passant le point P_M , de la courbe caractéristique $I_d = f(V_{ds})$ du transistor 12 pour la tension grille $V_g = 0$ et de la courbe caractéristique $I_d = f(V_{ds})$ du transistor 12 pour la tension grille $V_g = -V_p$ correspondant à la tension de pincement du transistor 12. Comme dans le

25 cas du dispositif représenté à la figure 1, le mode de polarisation du dispositif de la figure 3 permet également un balayage complet de la zone non-linéaire du transistor 12.

Dans la variante de réalisation de la figure 5 la pente de la droite de charge du transistor unipolaire est rendue variable au rythme d'une des

30 deux fréquences appliquées sur le mélangeur. Le dispositif, représenté à la figure 5, comprend un transistor unipolaire 24 du type MESFET, polarisé sur son électrode de grille par une tension continue $-V_{g1}$, délivrée par un générateur 25. L'électrode de grille g est alimentée par une source de tension alternative 26 formant oscillateur local au travers d'une résistance 27. Le transistor 24 est alimenté sur son drain par une source de

tension alternative 28 fournissant la fréquence intermédiaire, de pulsation ω_0 , au travers d'un modulateur de la tension de drain composé d'un transistor PNP 29, monté en émetteur commun et dont l'émetteur est relié à une source de tension continue E_0 . Le collecteur du transistor 29 5 est relié au drain du transistor 24 au travers d'un filtre 30. La base du transistor 29 est polarisée par un diviseur potentiométrique, formé des résistances 31 et 32 qui est alimenté par la source de tension continue E_0 . La base du transistor 29 est également reliée à la sortie du générateur de tension alternative 28 au travers d'une résistance 33 et d'un condensateur 10 34 montés en série. Le drain du transistor 24 est également connecté à la sortie du dispositif mélangeur au travers du filtre 35.

Dans le cas de la figure 5 la droite de charge du transistor 24 est constituée par la résistance émetteur-collecteur du transistor 29 et la valeur de cette résistance varie en fonction de la valeur de la tension 15 alternative appliquée sur sa base. Par conséquent, le point statique de polarisation du transistor 24 varie, comme dans les cas précédents, entre les points P_1 et P_2 de la caractéristique $I_d = f(V_{ds})$ pour la tension grille $V_g = -V_{g1}$. Lorsque, le générateur 26 applique une tension alternative sur la grille du transistor 24, le point P de polarisation se déplace à l'intérieur 20 d'une zone Z_3 en fonction de l'amplitude des tensions alternatives appliquées sur la grille et sur le drain du transistor 24. La zone Z_3 est déterminée par une droite de charge reliant le point E_0 de la droite V_{ds} à un point P_M de la caractéristique $I_d = f(V_{ds})$ pour la tension grille $V_g = -V_{g1}$ située comme précédemment à la frontière de la partie linéaire 25 et de la partie non-linéaire de cette courbe caractéristique et d'autre part, entre les courbes caractéristiques de $I_d = f(V_{ds})$ tracées pour la tension grille $V_g = 0$ volt et de la courbe caractéristique tracée pour la tension grille de pincement égale à $-V_p$.

Bien que dans les exemples de réalisation de l'invention qui 30 viennent d'être décrits, l'électrode de source du transistor mélangeur soit connectée au plan de masse et qu'une tension alternative soit appliquée à son électrode de drain, on concevra qu'il est tout aussi possible, dans d'autres modes de réalisation, d'inverser le rôle des électrodes de drain et de source comme dans l'exemple représenté à la figure 7. Sur cette figure, 35 la grille du transistor 36 est polarisée, comme dans les montages

précédents, par une tension continue $-V_{g1}$ délivrée par un générateur 37 et est alimentée par une source de tension alternative 38 formant oscillateur local au travers d'une résistance 39. Contrairement aux exemples de réalisation précédents, l'électrode de drain du transistor 36 5 est reliée à une source de tension continue $-E_0$ et l'électrode de source est reliée à une source de tension alternative 40 fournissant la fréquence intermédiaire au travers d'un filtre haute fréquence 41. Un filtre 42 relie l'électrode de source du transistor 36 à la sortie S du dispositif.

REVENDICATIONS

1. Mélangeur à transistor pour émetteurs hyperfréquences, destiné à mélanger un signal fourni par un oscillateur local à un signal utile de fréquence intermédiaire, de manière à obtenir un signal mélangé dont le spectre de fréquence contient la somme ou la différence des fréquences respectivement du signal fourni par l'oscillateur local et du signal utile de fréquence intermédiaire, caractérisé en ce qu'il comprend au moins un transistor (1, 12, 24, 36) unipolaire du type MESFET ayant une électrode de grille une électrode de drain et une électrode de source, des premiers moyens (2, 4 ; 13, 15 ; 25, 27 ; 37,39) pour assurer une polarisation statique du transistor dans une zone de conduction non-linéaire de celui-ci, des deuxièmes moyens (3, 4 ; 14, 15 ; 26, 27 ; 38, 39) pour appliquer le signal fourni par l'oscillateur local sur l'électrode de grille, des troisièmes moyens (6 ; 17 ; 29 ; 40) pour appliquer le signal de fréquence intermédiaire sur une des deux autres électrodes de drain ou de source et des quatrièmes moyens (11 ; 23 ; 35 ; 42) pour prélever le signal résultant du mélange sur l'électrode de drain ou de source sur laquelle le signal de fréquence intermédiaire est appliqué.

2. Mélangeur selon la revendication 1, caractérisé en ce que les troisièmes moyens (6; 17; 29) comprennent un modulateur de la tension appliquée sur l'une des deux autres électrodes.

3. Mélangeur selon les revendications 1 et 2, caractérisé en ce que le modulateur est constitué par un transformateur (6) dont l'enroulement primaire (8) est alimenté par le deuxième signal périodique de fréquence intermédiaire et dont l'enroulement secondaire (9) alimente l'une des deux autres électrodes.

4. Mélangeur selon les revendications 1 et 2, caractérisé en ce que le modulateur est constitué par un transistor émetteur-suiveur (17) dont l'émetteur est relié à l'une des deux autres électrodes du transistor mélangeur et dont la base est alimentée par le deuxième signal périodique de fréquence intermédiaire.

5. Mélangeur selon les revendications 1 et 2, caractérisé en ce que le modulateur est constitué par un transistor à émetteur commun (29) dont le collecteur est relié à l'une des deux autres électrodes de drain ou

de source du transistor mélangeur et dont la base est alimentée par le deuxième signal périodique de fréquence intermédiaire.

6. Mélangeur selon l'une quelconque des revendications 1 à 5, caractérisé en ce que les troisièmes moyens appliquent le deuxième signal périodique de fréquence intermédiaire sur l'électrode de drain du transistor mélangeur.

7. Mélangeur selon la revendication 1, caractérisé en ce que les troisièmes moyens appliquent le deuxième signal périodique de fréquence intermédiaire sur l'électrode de source du transistor mélangeur.

1 / 4

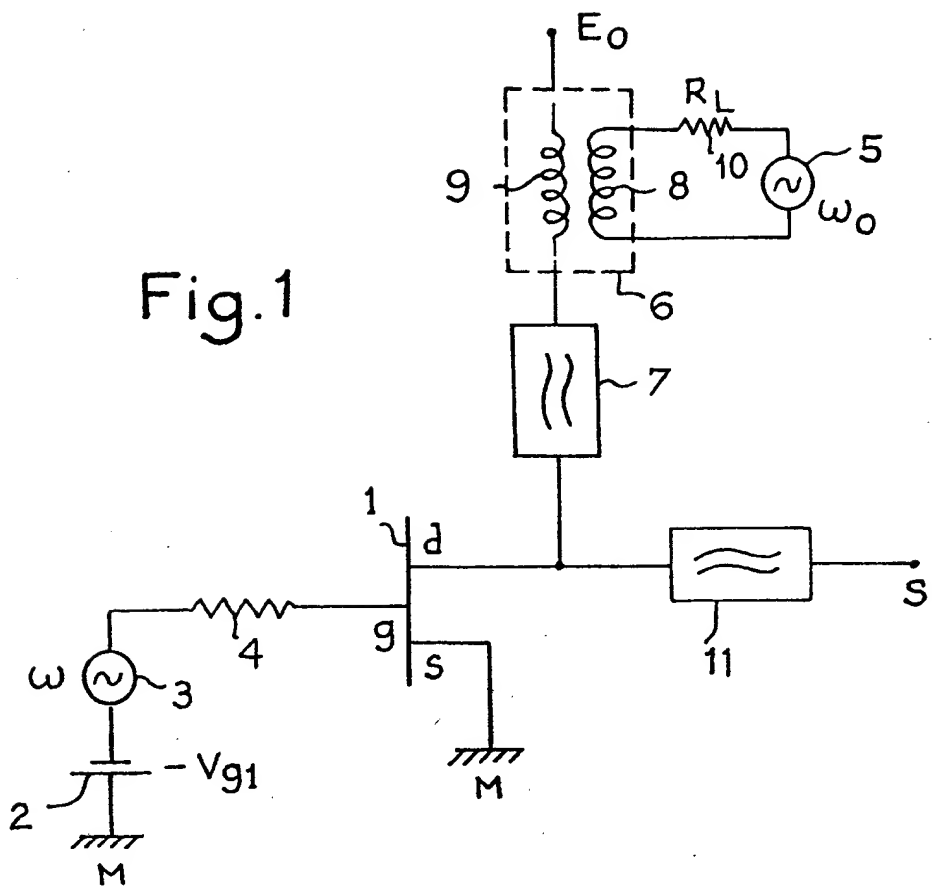
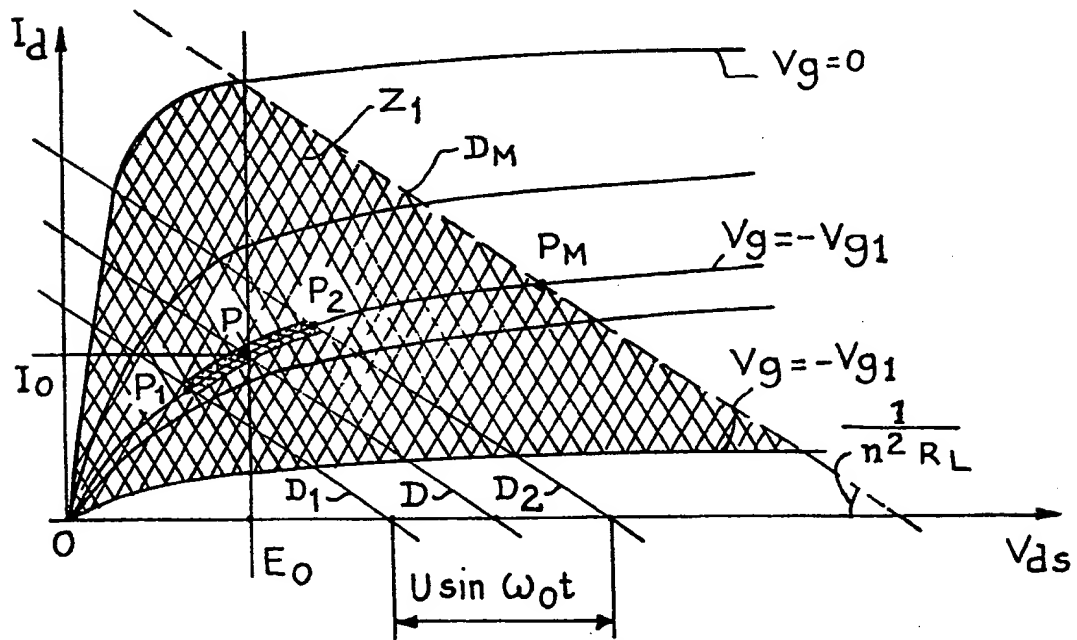
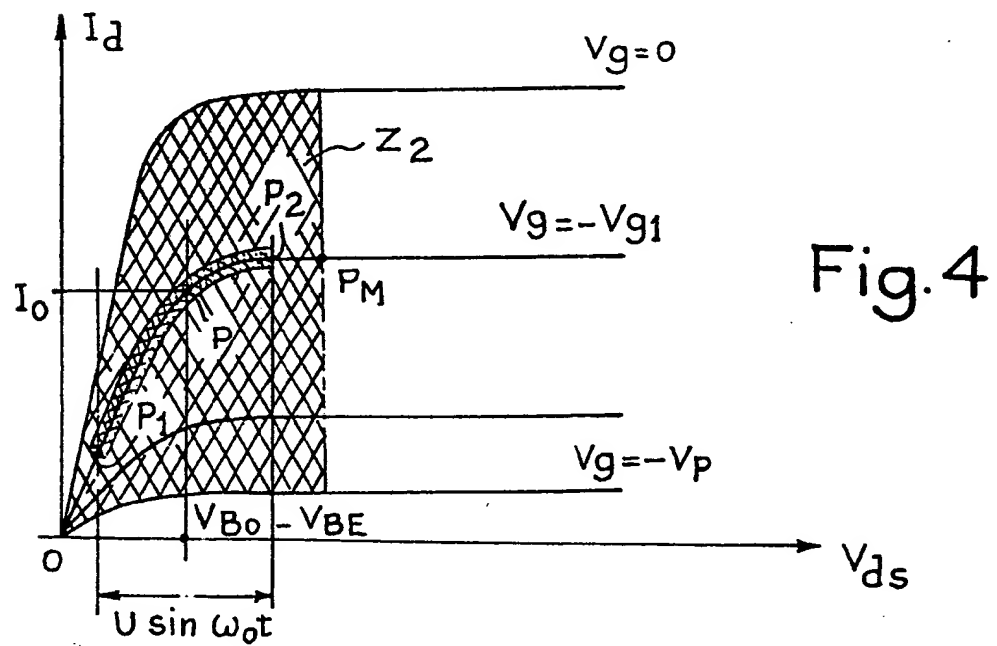
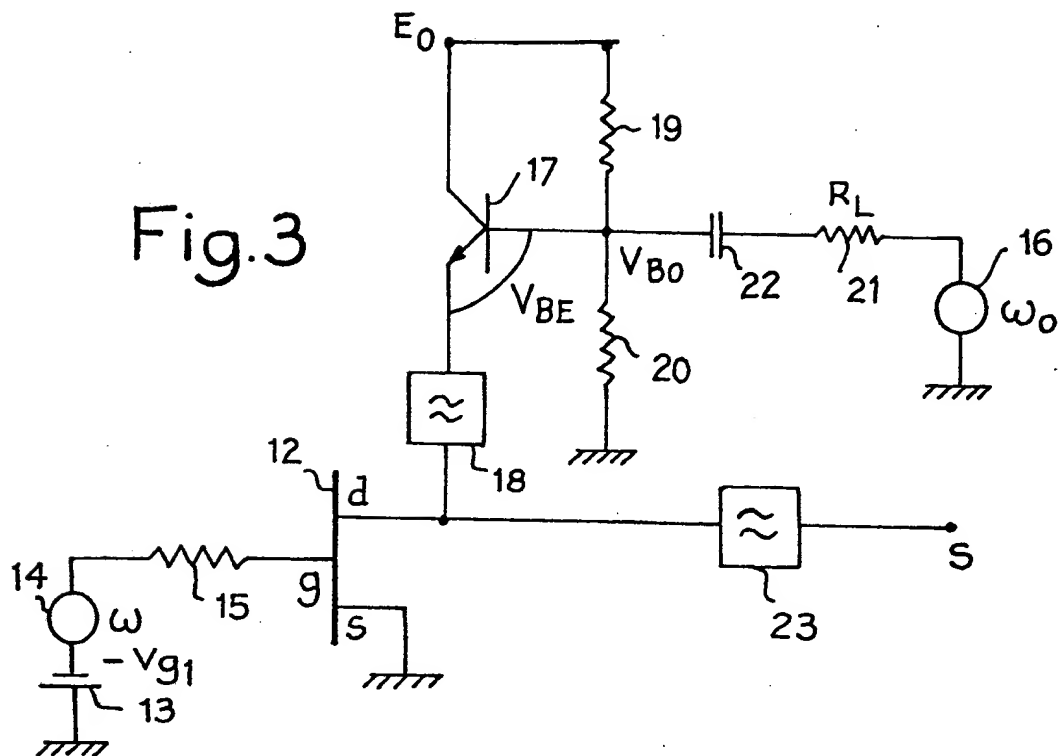


Fig. 1

Fig. 2



2/4



0087336

3/4

Fig. 5

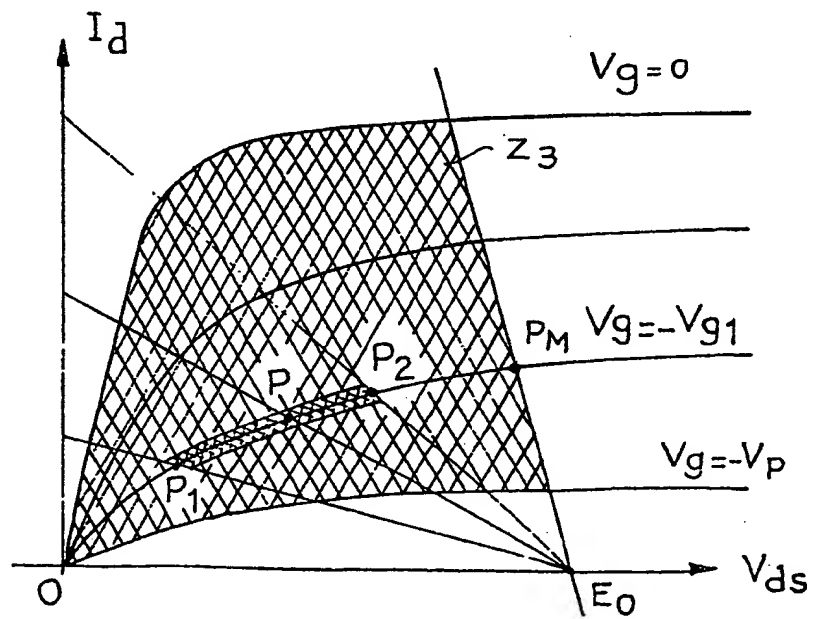
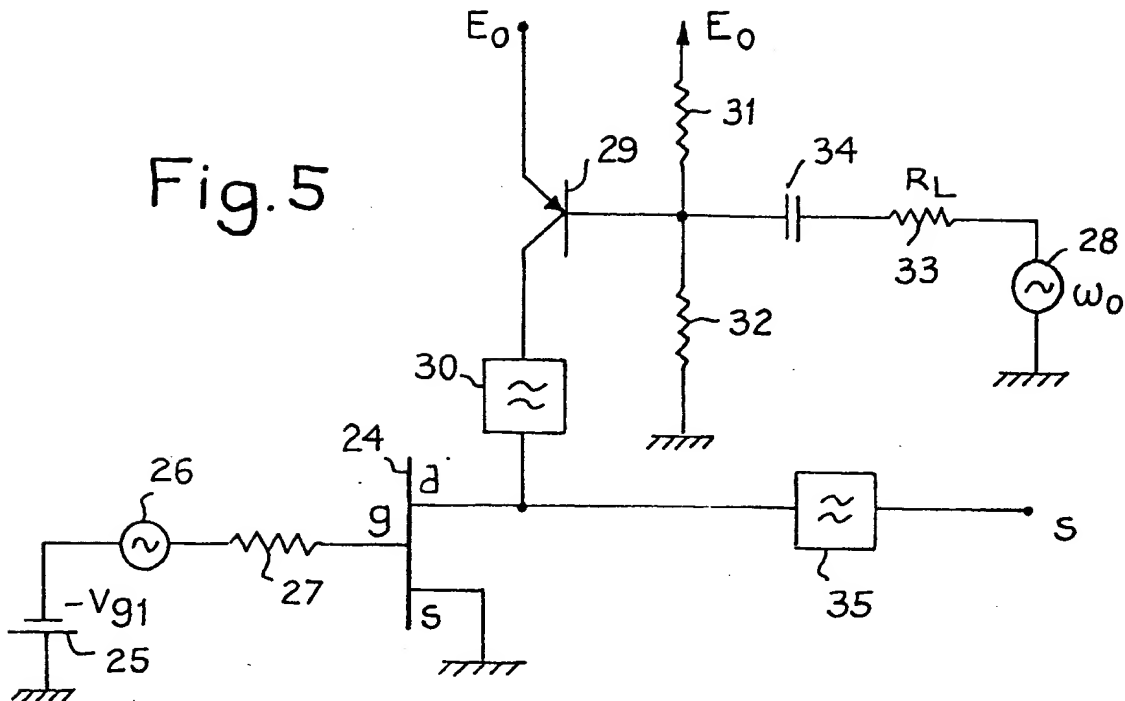


Fig. 6

0087336

4 / 4

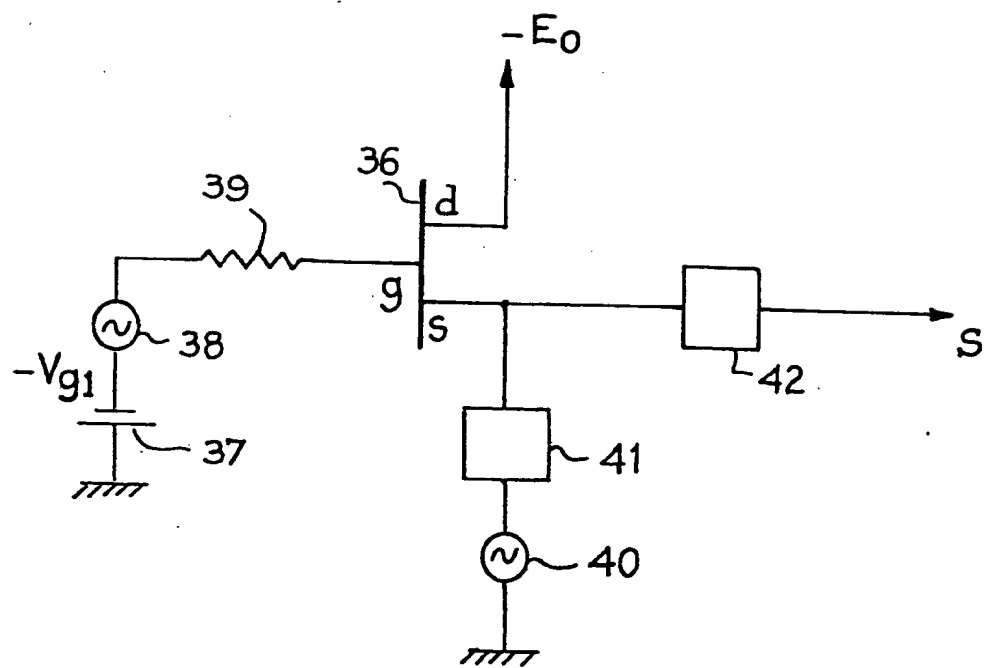


Fig. 7



DOCUMENTS CONSIDERES COMME PERTINENTS			CLASSEMENT DE LA DEMANDE (Int. Cl. ³)
Catégorie	Citation du document avec indication, en cas de besoin des parties pertinentes	Revendication concernée	CLASSEMENT DE LA DEMANDE (Int. Cl. ³)
Y	DE-A-2 147 559 (BLAUPUNKT-WERKE) * En entier *	1-3, 6 7	H 03 D 7/12
Y	--- GTH EUROPEAN MICROWAVE CONFERENCE, ROME 14-17 septembre 1976, pages 8-13, Seven Oaks, GB. P. HARROP et al.: "Performance of some GaAs mesfet mixers" * Page 9, lignes 8-15; page 10, lignes 1-19; figure 1 *	1-3, 6 7	
Y	--- IEEE MTT-S INTERNATIONAL MICROWAVE SYMPOSIUM, Cherry Hill, 14-16 juin 1976, pages 90-92, Piscataway, USA P. Bura et al.: "FET mixers for communication satellite transponders" * Page 90, colonne de gauche, lignes 16-26; colonne de droite, lignes 1-5, lignes 19-29; figure 2 *	1-3, 6 7	DOMAINES TECHNIQUES RECHERCHES (Int. Cl. ³) H 03 D
A	FR-A-1 145 253 (PHILIPS) * En entier *	1-3, 7	
A	--- US-A-3 040 255 (MUKAI) * Colonne 3, ligne 25 - colonne 5, ligne 69; figures 1, 2 *	1, 2, 4 7	
	---	-/-	
Le présent rapport de recherche a été établi pour toutes les revendications			
Lieu de la recherche LA HAYE	Date d'achèvement de la recherche 19-05-1983	Examinateur DHONDT I.E.E.	
CATEGORIE DES DOCUMENTS CITES		T théorie ou principe à la base de l'invention E document de brevet antérieur, mais publié à la date de dépôt ou après cette date D cité dans la demande L cité pour d'autres raisons	
X : particulièrement pertinent à lui seul		T théorie ou principe à la base de l'invention E document de brevet antérieur, mais publié à la date de dépôt ou après cette date	
Y : particulièrement pertinent en combinaison avec un autre document de la même catégorie		D cité dans la demande L cité pour d'autres raisons	
A : arrière-plan technologique		T théorie ou principe à la base de l'invention E document de brevet antérieur, mais publié à la date de dépôt ou après cette date	
O : divulgation non-écrite		D cité dans la demande L cité pour d'autres raisons	
P : document intercalaire		T théorie ou principe à la base de l'invention E document de brevet antérieur, mais publié à la date de dépôt ou après cette date	
		G membre de la même famille document correspondant	



DOCUMENTS CONSIDERES COMME PERTINENTS			Page 2
Catégorie	Citation du document avec indication, en cas de besoin, des parties pertinentes	Revendication concernée	CLASSEMENT DE LA DEMANDE (Int Cl 3)
A	<p>RADIOMENTOR ELECTRONIC, vol. 42, no. 6, juin 1976, pages 220-222, Munich, DE.</p> <p>K. KRAJENSKI: "Mischteil mit pin-Dioden-Regelung für HiFi-Spitzengeräte" * Page 221, colonne de droite, ligne 3 - page 222, colonne de gauche, ligne 40; figure 1 *</p> <p>---</p> <p>FUNKSCHAU, vol. 38, no. 22, 2 novembre 1966, pages 685-687, Munich, DE.</p> <p>H. DEMTRÖDER et al.: "UKW-Tuner mit Feldeffekt-Transistoren" * Page 687, colonne du milieu, lignes 3-18; figure 2 *</p> <p>-----</p>	1,2,4, 7	
A		1,2,5, 7	
Le présent rapport de recherche a été établi pour toutes les revendications			DOMAINES TECHNIQUES RECHERCHES (Int Cl 3)
Lieu de la recherche LA HAYE	Date d'achèvement de la recherche 19-05-1983	Examinateur DHONDT I.E.E.	
CATEGORIE DES DOCUMENTS CITES			
X : particulièrement pertinent à lui seul	T : théorie ou principe à la base de l'invention		
Y : particulièrement pertinent en combinaison avec un autre document de la même catégorie	E : document de brevet antérieur, mais publié à la date de dépôt ou après cette date		
A : arrière-plan technologique	D : cité dans la demande		
O : divulgation non-écrite	L : cité pour d'autres raisons		
P : document intercalaire	8 : membre de la même famille document correspondant		